

УДК 541(64+127)

## ФОРМАЛЬНО-КИНЕТИЧЕСКОЕ ОПИСАНИЕ ЗАВИСИМОСТИ СОПРОТИВЛЕНИЯ РАССЛАИВАНИЮ АДГЕЗИОННЫХ СОЕДИНЕНИЙ ПОЛИЭТИЛЕН — СТАЛЬ ОТ ПРОДОЛЖИТЕЛЬНОСТИ КОНТАКТИРОВАНИЯ

*Калнинъ М. М., Малерс Ю. Я.*

Экспериментальные зависимости сопротивления расслаиванию  $A$  адгезионных соединений ПЭ со сталью от времени контактирования  $t$  в условиях контактного термоокисления описано простым выражением, основанным на представлении о положении двух противоположных процессов. Зависимости эффективных констант скорости этих процессов и ряда кинетических параметров термоокисления от толщины слоя и температуры описываются одним и тем же законом. Показаны возможности прогнозирования зависимости  $A(t)$ .

В работе [1] нами было показано, что начальная скорость роста сопротивления расслаиванию  $A$  адгезионных соединений ПЭ — сталь (характеризующего удельную работу разрушения граничного слоя полимера) от продолжительности контактирования  $t$  связана с соответствующими кинетическими параметрами процесса контактного термоокисления полимерного адгезива. Характер зависимостей  $A(t)$  обусловлен конкурирующим влиянием по крайней мере двух тенденций [2]: накоплением кислородсодержащих групп и окислительным сшиванием, вызывающим рост значений  $A$  (процесс I), и реакциями окислительной деструкции, приводящими к уменьшению величины  $A$  (процесс II). Появление на зависимостях  $A(t)$  максимума свидетельствует о преобладании процессов I лишь в начале контактирования.

Гулем с сотр. [3, 4] на примере пары ПЭ — целлофан и ПЭ — алюминий для условий, в которых практически исключалось ощутимое контактное термоокисление, было показано, что зависимости  $A(t)$  полностью определяются кинетикой микрореологического формирования истинной поверхности контакта адгезив — субстрат. Совершенно очевидно, что и в случае исследуемой нами системы имеет место формирование контакта полимер — металл [3, 4]; контактное термоокисление же может реализоваться лишь на той части поверхности, на которой этот контакт установленся. Однако контактное термоокисление — явно лимитирующий процесс, так как его общая продолжительность на несколько порядков превышает время формирования контакта (так, например, формирование контакта при 473 К завершается за десятки секунд [4], в то время как изменение для системы ПЭ — сталь продолжается в течение нескольких часов). Это дает основание при описании зависимостей  $A(t)$  адгезионных соединений ПЭ — сталь, протекающих в условиях интенсивного контактного термоокисления, микрореологические процессы не учитывать.

Задача настоящей работы — описание экстремальных зависимостей  $A(t)$  с позиций формальной кинетики непосредственно не пытаясь количественно связывать их с соответствующими кинетическими зависимостями полимераналогичных и макромолекулярных превращений полимера. Последнее в достаточной мере беспersпективно уже потому, что в настоящее время отсутствуют количественные зависимости, которые описывали бы взаимосвязь между какими-либо показателями когезионных свойств полимеров и

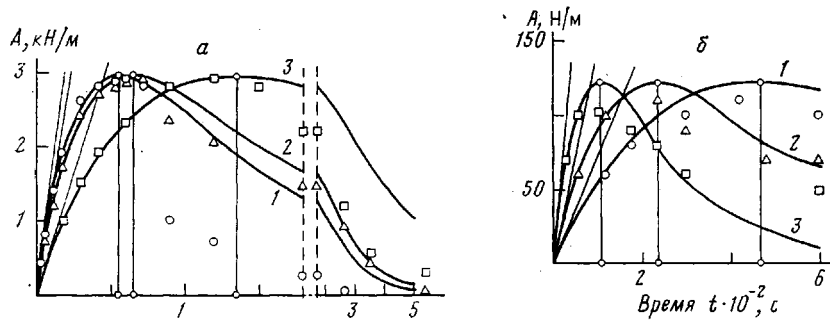


Рис. 1. Экспериментальные точки и расчетные зависимости  $A(t)$  для открытых (а) и закрытых адгезионных соединений (б). а:  $T_k=448$  К,  $b=50$  (1), 100 (2) и 300 мкм (3); б:  $b=500$  мкм,  $T_k=423$  (1), 453 (2) и 483 К (3)

характеристиками конфигурации цепей этого полимера даже в простейших случаях.

В то же время формально-кинетическое описание функций  $A(t)$  не только может обеспечить возможность прогнозирования их вида (тем самым сокращая достаточно трудоемкий эксперимент), но и в известной мере расширить представление о характере процессов контактного термоокисления, ответственных за изменение когезионных свойств граничных слоев адгезива.

Эксперимент осуществляли так, как описано в работе [1]. Исследовали адгезионные соединения ПЭ – сталь, формировавшиеся при свободном доступе кислорода через слой полимера и при его отсутствии (соответственно, открытые и закрытые адгезионные соединения). В последнем случае предварительное контактирование осуществляли на воздухе.

Исходя из высказанных выше соображений о двух тенденциях контактного термоокисления, можем записать

$$A(t) = A_1(t) - A_2(t),$$

где  $A_1(t)$  и  $A_2(t)$  – аддитивное изменение значений  $A$ , происходящее в результате протекания процессов I и II соответственно.

Решающее влияние на значение  $A$  оказывают изменения в тонком граничном слое. Достаточно высокая степень завершенности превращений в них достигается сравнительно быстро (об этом свидетельствует, например, кинетика изменения поверхностной энергии граничного слоя [5]), и процессы окисления характеризуются постепенно убывающей скоростью. Поэтому зададимся простейшим видом затухающей функции, удовлетворяющей этому требованию, а именно экспоненциальной (соответствующей процессу первого порядка)

$$A_1(t) = A_{\infty 1} [1 - \exp(-k_1 t)]$$

$$A_2(t) = A_{\infty 2} [1 - \exp(-k_2 t)]$$

При достаточно больших  $t$  зависимость  $A(t)$  стремится к нулю (рис. 1),  $A_{\infty 1} = A_{\infty 2} = A_{\infty}$  и тогда

$$A(t) = A_{\infty} [\exp(-k_2 t) - \exp(-k_1 t)], \quad (1)$$

где  $k_1$  и  $k_2$  – значения констант скорости изменения  $A$  в результате протекания процессов I и II соответственно;  $A_{\infty}$  – значение  $A$ , которое соответствует завершению обсуждаемых процессов.

Вид функций  $A$ ,  $A_1$ ,  $A_2(t)$  показан на рис. 2.

Для функции  $A(t)$  характерно резкое убывание скорости роста  $A$  при  $0 < t < t_{A_{\max}}$

$$dA/dt = A_{\infty} [k_1 \exp(-k_1 t) - k_2 \exp(-k_2 t)], \quad (2)$$

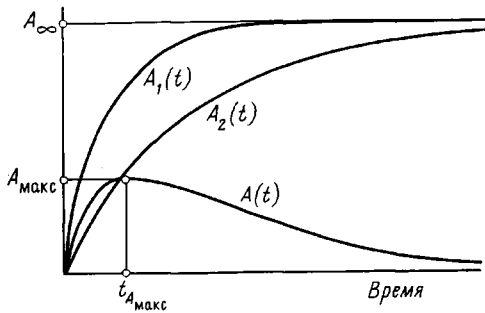


Рис. 2. Вид функций  $A_1(t)$ ,  $A_2(t)$  и  $A(t)$ , описываемых экспоненциальными уравнениями

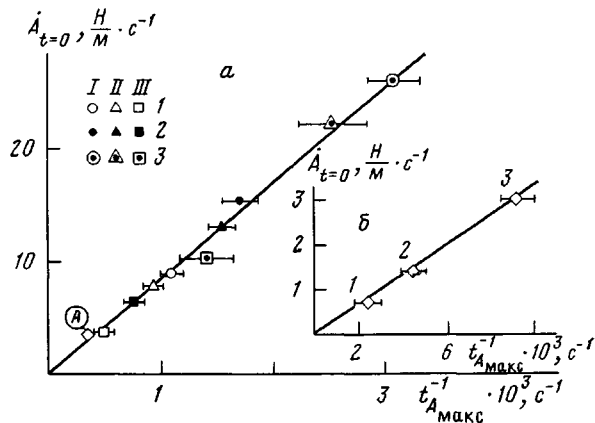


Рис. 3. Зависимости  $A_{t=0} (t_{A_{\max}}^{-1})$  для открытых (а) и закрытых адгезионных соединений (б); точка А соответствует  $T_k=453$  К и  $b=500$  мкм. а:  $T_k=423$  (1),  $448$  (2) и  $473$  (3) К; б:  $T_k=423$  (1),  $453$  (2) и  $483$  К (3)

а максимальное значение скорости соответствует  $t=0$

$$A_{t=0} = \lim_{t \rightarrow 0} \frac{dA}{dt} = \Delta k A_\infty, \quad (3)$$

где  $\Delta k = k_1 - k_2$ .

Записывая выражение для  $t_{A_{\max}}^1$  (рис. 2)

$$t_{A_{\max}} = \frac{\ln \kappa_k}{\Delta k}, \quad (4)$$

где  $\kappa_k = k_1/k_2$ , и подставляя в него выражение (3), получаем

$$A_{t=0} = \frac{A_\infty \ln \kappa_k}{t_{A_{\max}}} \quad (5)$$

Зависимость  $A_{t=0} (t_{A_{\max}}^{-1})$  (по данным работы [1]) показана на рис. 3, а. Ее можно аппроксимировать единой для всех экспериментальных точек прямой, независимо от значения температуры контактирования  $T_k$  и толщины слоя адгезива  $b$ . Это означает, что, согласно выражению (4),  $A_\infty \ln \kappa_k = 8.5 \cdot 10^3$  Н/м.

Подставляя выражение (4) в выражение для  $A$ , получаем

$$A_{\max} = A_\infty \left[ \exp \left( -\frac{\ln \kappa_k}{\kappa_k - 1} \right) - \exp \left( -\frac{\ln \kappa_k}{1 - \kappa_k^{-1}} \right) \right]^1 \quad (6)$$

<sup>1</sup> Это выражение получено из выражения (2) для  $dA/dt=0$ .

Значения констант уравнений (1) и (4)

$T_k, K$	$b, \text{мкм}$	$k_1 \cdot 10^3, \text{с}^{-1}$	$k_2 \cdot 10^3, \text{с}^{-1}$	$\Delta k \cdot 10^3, \text{с}^{-1}$	$\dot{A}, \text{Н/м}\cdot\text{с}$	$t_{A_{\max}}, \text{с}$
Открытые адгезионные соединения*						
423	0	1.91	0.57	1.34		
	50	1.81	0.54	1.27		
	100	1.58	0.47	1.11		
	300	0.75	0.22	0.53		
448	0	3.27	0.97	2.30		
	50	3.11	0.92	2.19		
	100	2.66	0.79	1.87		
	300	1.28	0.38	0.90		
473	0	5.71	1.70	4.01		
	50	5.32	1.58	3.74		
	100	4.53	1.35	3.18		
	300	2.09	0.62	1.47		
Закрытые адгезионные соединения**						
423	500	2.29	1.94	0.35	0.7	470
453	500	4.59	3.89	0.7	1.4	236
483	500	9.83	8.33	1.5	3.0	110

\*  $A_{\infty}=7 \cdot 10^3 \text{ Н/м}; \kappa_k=3.96; A_{\max}=2.94 \cdot 10^3 \text{ Н/м}.$

\*\*  $A_{\infty}=2 \cdot 10^3 \text{ Н/м}; \kappa_k=1.18; A_{\max}=120 \text{ Н/м}.$

Согласно этому уравнению, величина  $A_{\max}$  определяется только значениями  $A_{\infty}$  и  $\kappa_k$ . Экспериментальные значения  $A_{\max}$  мало различаются, и для разных значений  $b$  и  $T_k$  составляют  $(2.6-3) \cdot 10^3 \text{ Н/м}$  (рис. 1), т. е.  $A_{\max}=\text{const}$ .

Из условия  $A_{\infty} \ln \kappa_k = \text{const}$  и уравнения (6) вытекает, что  $\kappa_k$  и  $A_{\infty}$  являются константами каждой в отдельности и не зависят от  $b$  и  $T_k$ . К аналогичному выводу можно прийти также из общих соображений, полагая, что  $A_{\infty}$  характеризует равновесное состояние контактных процессов, а величина  $\kappa_k$  — отношение их констант скорости; при одинаковом влиянии  $T_k$  на величину  $k_1$  и  $k_2$  значение  $\kappa_k$  будет постоянным.

Вид зависимости  $A(t)$  от  $T_k$  и  $b$ , таким образом, должен определяться видом функций  $k_1, k_2(b, T_k)$ .

Найдем значения  $A_{\infty}, k_1$  и  $k_2$ , удовлетворяющие экспериментальным точкам (рис. 1). Их независимое определение невозможно. Поэтому по программе были рассчитаны функции  $A(t)$  для последовательного ряда заданных значений  $A_{\infty} \geq 3 \cdot 10^3 \text{ Н/м}$  и соответствующих им значений  $k_1$  и  $k_2$  (значения  $A_{\infty} < A_{\max}$  лишены смысла). Начиная с  $A_{\infty} \geq 7 \cdot 10^3 \text{ Н/м}$  на вид зависимостей  $A(t)$  слабо влияет выбор  $A_{\infty}$ , а расчетное значение  $A_{\max}$  становится практически постоянным (рис. 4, кривая 1) и близким экспериментальному значению  $A_{\max}$ . На рис. 1 в качестве примера приведены кривые  $A(t)$ , рассчитанные для  $A_{\infty}=7 \cdot 10^3 \text{ Н/м}$  и соответственно  $\kappa_k=3.36$ , а в таблице — значения констант  $k_1$  и  $k_2$ . Экспериментальные точки удовлетворительно совпадают с рассчитанными кривыми вплоть до  $A_{\max}$ . Для  $t > t_{A_{\max}}$  экспериментальные значения  $A$  оказались ниже расчетных. Чем выше  $T_k$  и меньше  $b$  (аналогичное соответствие экспериментальных и расчетных точек было получено для ряда других значений  $T_k$ ), тем более ярко выражена эта тенденция, являющаяся следствием накопления в граничном слое макронеоднородностей (главным образом в виде гетерогенных включений низкомолекулярных продуктов деструкции, образующихся при окислении), ослабляющих граничный слой.

Значения  $k_1$  и  $k_2$  изменяются в зависимости от величины  $b$  и  $T_k$  (таблица). Исходя из общего выражения, полученного в работе [1], имеем

$$\dot{A}_{t=0}(b, T_k) = \frac{\dot{A}_{t=0}(T_k)}{\frac{b=0}{k^*(T_k)b}} \operatorname{th}(k^*b), \quad (7)$$

где  $\dot{A}_{t=0} = \lim_{b \rightarrow 0} \dot{A}_{t=0}(b)$ .

Рис. 4. Зависимость расчетного значения  $A_{\max}$  от выбранной величины  $A_{\infty}$  для открытых (1) и закрытых адгезионных соединений (2)

Рис. 5. Температурные зависимости констант уравнения (1) для открытых (1–3) и закрытых адгезионных соединений (4): 1 –  $k_0$ , 2 –  $\Delta k_0$ , 3 –  $k_{02}$ , 4 –  $\Delta k$

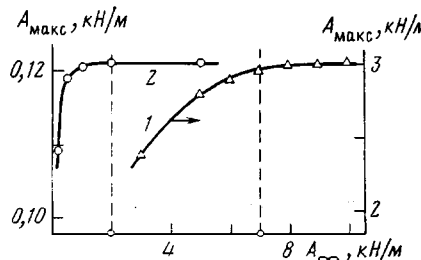


Рис. 4

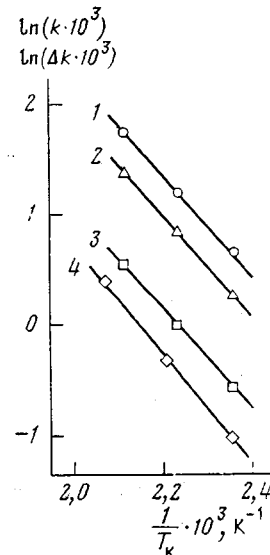


Рис. 5

Согласно выражению (3), можем записать

$$A_{t=0}(b, T_k) = \Delta k(b, T_k) A_{\infty}; \quad A_{t=0}(T_k) = \Delta k_0(T_k) A_{\infty}; \quad \Delta k_0 = \lim_{b \rightarrow 0} \Delta k(b)$$

и, подставляя в уравнение (7), получаем

$$\Delta k(b, T_k) = \frac{\Delta k_0(T_k)}{k^*(T_k) b} \operatorname{th}(k^* b), \quad (8)$$

$$\text{где } k^* = \left( \frac{\Delta k_0(T_k)}{D(T_k)} \right)^{1/2} \quad [1].$$

Уравнения (7) и (8) идентичны, и в них входят одинаковые значения  $k^*$  [1]. Зависимость  $\Delta k_0(T_k)$  (рис. 5) характеризуется эффективной энергией активации  $E_0$  [1], значение которой близко значению  $E_0$  для температурной зависимости  $A_{t=0}$  [1]. Линейный характер зависимости  $\Delta k_0(T_k)$  в аррениусовых координатах (рис. 5, кривая 2) свидетельствует о том, что зависимости  $\Delta k_0$ ,  $k_0$ ,  $k_{02}(T_k)$  характеризуются одинаковым значением  $E_0 = -37$  кДж/моль (рис. 5, прямые 1–3). Для  $\Delta k$  значения  $E_0 = 40$  кДж/моль (прямая 4).

Несмотря на формальный характер полученных выражений, их анализ дает существенную информацию о путях управления процессом контактного термоокисления, основной практической целью которого является ускорение процесса формирования адгезионных соединений и достижение высоких значений  $A$ .

В пределах заданной системы полимер – металл возможности управления кинетикой  $A(t)$  ограничены, так как  $x_k$ ,  $A_{\infty}$  и  $A_{\max}$  – постоянны. Можно лишь добиваться ускорения процесса (разумеется, для  $t \leq t_{A_{\max}}$  и  $A \leq A_{\max}$ ) путем повышения значения  $\Delta k(b, T_k)$  в результате увеличения значений  $T_k$  и уменьшения  $b$ , как это следует из формул (3), (4) и (8).

При толщине слоя полимера  $b < b_{\text{крит}}$  [1] достигаются максимальные значения  $A_{t=0}$  и минимальные значения  $t_{A_{\max}}$ ; вид  $A(t)$  определяется только температурой контактирования. В таких условиях целесообразно формировать адгезионные подслои. Зависимость  $A(t)$  подчиняется уравнениям (1) и (7) и при достаточно высоких значениях  $b$ . Например, для  $b = 500$  мкм (рис. 3, точка А) отношение концентраций кислорода на поверхности соприкосновения с воздухом и на поверхности контакта с металлом (рассчитанное по работе [1]) составляет всего  $6,7 \cdot 10^{-5}$ .

Изменение характера  $A(t)$  от  $b$  и  $T_k$  изучали также в работе [6]. Были получены зависимости  $A'_{\max}$ ,  $t_{A_{\max}}(b, T_k)$ , трудно поддающиеся коли-

чественному описанию. Причиной этого, по-видимому, являются использованные в этой работе специфические условия эксперимента: отсутствие предварительного контактирования вообще и в вакууме в частности, несоблюдение постоянства толщины отслаиваемого слоя и др.

Оказалось, что исходное выражение (1) удовлетворительно может быть использовано также для описания зависимости  $A(t)$  в условиях отсутствия поступления кислорода через покрытие (контактное термоокисление осуществляется лишь за счет кислорода, захваченного на поверхности раздела адгезив — субстрат [7] (рис. 1, б и таблица).

Абсолютные значения констант уравнения (1) в случае открытых и закрытых адгезионных соединений различны (таблица). Зависимости  $A(t)$  для закрытых адгезионных соединений характеризуются низкими значениями  $A_{\max}$ . Это — следствие уменьшения ресурсов кислорода [7], определяющих величину  $A_{\infty}$  (значение  $A_{\infty}$  для закрытых адгезионных соединений составляет 0,3 от значения  $A_{\infty}$  для открытых соединений), и снижения значения  $\kappa_k$ . Значения  $\Delta k$  для закрытых соединений выше<sup>2</sup>; по-видимому, это проявление специфического действия кислорода, захваченного на поверхности раздела [7]. Кроме того, существенное влияние на кинетику в замкнутой системе закрытых соединений могут иметь неблагоприятные условия отвода низкомолекулярных продуктов окисления, в результате чего вклад процессов II должен увеличиваться. Именно об этом, по-видимому, свидетельствует уменьшение значений  $\kappa_k$ .

Потенциальные возможности разных систем адгезив — субстрат определяются величиной  $A_{\max}$ . Согласно формуле (6), его возрастание может быть достигнуто путем увеличения значений  $A_{\infty}$  и  $\kappa_k$ , т. е. увеличения выхода процессов I и увеличения отношения констант скорости процессов I и II соответственно.

Константы  $k_1$ ,  $k_2$ ,  $k^*$  и  $A_{\infty}$  на настоящем этапе исследований следует считать эмпирическими. Поэтому для изучаемой системы адгезив — субстрат необходимо экспериментально определить зависимость  $A(t)$  вплоть до достижения  $A_{\max}$  при одном значении  $T_k$  и нескольких значениях  $b$ . Исходя из формулы (5) определяют  $\kappa_k$  и  $A_{\infty}$ , из формул (4) и (3) —  $\Delta k$ ,  $k_1$  и  $k_2$ , а из формулы (8) —  $k^*$  и  $\Delta k_0$ . Тогда, пользуясь уравнением (8), можно определить значения  $\Delta k$ ,  $k_1$  и  $k_2$  для любых других значений  $T_k$  и  $b$ .

#### ЛИТЕРАТУРА

1. Калнинь М. М., Малерс Ю. Я. Высокомолек. соед. А, 1985, т. 27, № 4, с. 793.
2. Калнинь М. М., Рейхманис П. К., Дзенис М. Я. Изв. АН ЛатвССР, 1980, № 2, с. 116.
3. Гуль В. Е., Генель С. В., Фомина Л. Л. Механика полимеров, 1970, № 2, с. 203.
4. Гуль В. Е., Вахрушина Л. А., Дворецкая Н. М. Высокомолек. соед. А, 1976, т. 18, № 1, с. 122.
5. Рекнер Ф. В., Калнинь М. М. В кн.: Модификация полимерных материалов. Рига: Зинатне, 1974, с. 47.
6. Егоренков Н. И., Кузавков А. И., Докторова В. А. Высокомолек. соед. А, 1982, т. 24, № 12, с. 2475.
7. Малерс Ю. Я., Калнинь М. М. Изв. АН ЛатвССР. Сер. хим., 1979, № 6, с. 654.

Рижский политехнический институт  
им. А. Я. Пельше

Поступила в редакцию  
18.VIII.1983

#### FORMAL KINETIC DESCRIPTION OF THE DEPENDENCE OF PLY-SEPARATION RESISTANCE OF ADHESIONAL POLYETHYLENE — STEEL COMPOUNDS ON DURATION OF CONTACTING

*Kalnin' M. M., Malers Yu. Ya.*

#### Summary

The experimental dependences of ply-separation resistance  $A$  of adhesional compounds of PE with steel on the time of contacting  $t$  during contact thermooxidation are described with a simple expression based on the concept about two contrary processes. Dependences of effective rate constants of these processes and some kinetic parameters of thermooxidation on the thickness of a layer and temperature obey the same law. The possibility of prediction of  $A(t)$  dependence is shown.

<sup>2</sup> Сравнивать, естественно, необходимо со значениями  $\Delta k$  открытых адгезионных соединений при больших значениях  $b$ .